

鹿島建設技術研究所 保国光敏

山田功

○菅好徳

I まえがき 現在、埋立地盤にみられるようないくつか地盤の改良工法として振動碾打工法を用いた締固め工法が有効であると考えられ実用に供されている。このような動的締固め工法を飽和した砂地盤に施工する場合、振動および衝撃作用時にみる地盤内の非排水の状態と考えられるため、地盤中に過剰間隙水圧が発生する。この過剰間隙水圧の発生量は地盤の締固め効果に何らかの関係を持つこととは十分に推測されるので、今回、電気衝撃工法施工時にみる地盤内の過剰間隙水圧の発生量を計測し、この測定値と密度変化的関係を求めてみたい。以下に報告する。

II 電気衝撃工法の概略 電気衝撃工法は砂地盤を対象とした締固め工法で、地中に放電ボルトを貫入させ40kV(50Hz, 32M²)の高圧放電を繰り行ない、その際発生する衝撃力により地盤を締固めるものである。

III 実験場の土層構成および土質条件 実験場の地盤は海底土下没藻した埋立地盤で、図-1に示した土質柱状図からわかるように、GL-9.5mより平均N値5程度の軟弱な砂質土層である。間隙水圧の計測は土質柱状図より、過剰間隙水圧の発生量と大きさを有効土カブリ圧の大きさを所の砂層としてGL-7~9mの層で行った。この層の土は平均粒径D₅₀=0.21mm、均等係数U=2.9、比重=2.708のものである。その相対密度および間隙比はN値などによりD_r=35%、e=1.000と考えた。なお、この実験対象とした砂層は一般に述べられてる液状化しやすい条件をすべて満足している。

IV 実験方法 施工機による打設は図-2に示すように間隙水圧計とGL-8.5mに埋設し、これと正三角形の重心位置とする三角形の頂点P-1、P-2、P-3の順に行なった。一地点における放電は、3秒間隔30回である。計測に使用して間隙水圧計は差動トランジスタ型の間隙水圧計で、記録はDCアンプを通して電磁オシロおよびデータレコーダ(静水圧を基準値零)に取り、放電による過剰間隙水圧のみを記録させた。なお、同所で行なった本施工においては1.5mの正三角形ピッチで深度-10mより1.5m引き上げてGL-2.5mまで打設を行なった。

V 実験結果とその考察 電磁オシロの記録紙上に記録された施工中の過剰間隙水圧の波形を図-3に示す。記録に現われている高周期の波は誘導電流とP波の影響と考えられ、読み取らはそろ後、振動していない部分のピークを行なった。

読み取った記録と縦軸に過剰間隙水圧の発生量、横軸に時間の経過を取り図-4に整理した。なお間隙水圧計の埋設深度における有効土カブリ圧は土層条件より0.8%と算定した。図-4に示すように過剰間隙水圧は放電のたびに蓄積、蓄積され30回の放電が終了した後は時間の経過と共に逸散して行く。こうして一地点の放電および逸散が終了した後に、次の地点で放電を開始すると過剰間隙水圧は再び上昇するが、その発生量は前の発生量よりも小さい。このように過剰間隙水圧の蓄積、逸散という過程において密度が密にならいくた

図-1 実験地盤土質柱状図

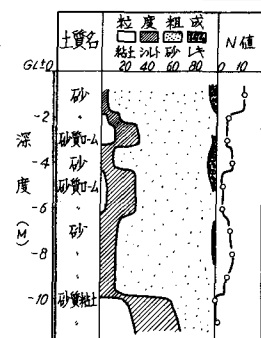


図-2 間隙水圧計埋設位置と施工位置

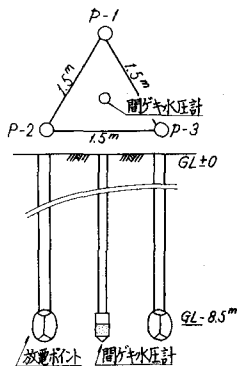
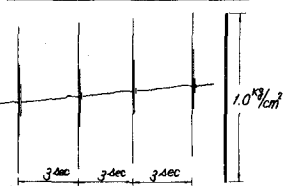


図-3 過剰間隙水圧計録波形



めであると考えられた。過剝間ゲキ水圧の上昇と、それが逸散した場合の体積変化について筆者らは、⁽¹⁾すぐれた方法を用い三軸セル内で衝撃荷重の作用出来るように改進した衝撃三軸試験機を利用して

飽和非排水状態で載荷し、過剝間ゲキ水圧を発生させた後に排水状態にし過剝間ゲキ水圧を逸散させた試験を実施し、過剝間ゲキ水圧の発生量と、それが逸散した時の体積変化の関係を図-5のよう求めた。この関係と圧密現象と同様に取り扱い、実測から過剝間ゲキ水圧の

値と有効応力の変化量に取り、圧密計算式を用いて体積変化量を計算すると図-5の黒丸で示された値が得られ、石井におけるても過剝間ゲキ水圧の逸散により、粘土地盤と同じような圧密現象として取り扱えることがわかった。そこで、本実験においても同様に取り扱いにより、地盤の体積変化、密度変化を求めてみた。

圧密計算式による地盤の体積変化量は過剝間ゲキ水圧の値を用いて(1)式で表わされる。

$$\frac{dV}{V} = C_e \cdot \log \left(\frac{P}{P_0} \right) \quad (1)$$

式中、 P ：過剝間ゲキ水圧、 P_0 ：有効土カブリ圧である。なお、圧縮指數 C_e は現地より採取した試料で圧密試験を実施し處女圧密曲線より、それまでの間ゲキ比に対して図-6のように求めた。計算の初期条件として地盤の初期間ゲキ比 $e = 1.00$ 、有効土カブリ圧 $P_0 = 0.8 \text{ kN/m}^2$ 、圧縮指數 $C_e = 0.16$ を用い、終電終了時の過剝間ゲキ水圧の値により、P-1、P-2、P-3の打設順序にしたがい地盤の体積変化量を求めた。また体積変化による間ゲキ比は(2)式で求め、P-2、P-3打設地点の初期条件とした。

$$e = e_0 - \sum V (1 + e_0) / V \quad (2)$$

このようにして計算した各打設地点終了後の体積変化量および間ゲキ比を表-1に示す。一方、本施工において地盤の密度変化と施工後の地表面沈下量と土層の層厚で除し沈下率とみなし、体積変化量7.7%を得た。表-1より、P-3打設地点終了後の体積変化量の計算値は6.2%であり、一応実測値に近い値が得られたと考えられる。

以上のように動的探査法施工時の過剝間ゲキ水圧の発生量と、地盤の密度変化の間に、過剝間ゲキ水圧の逸散による圧密現象として取り扱うことの出来る関係があると考えられる。

参考文献：(1) 佐藤、山田、菅：“衝撃荷重による地盤体積圧縮量について”

第8回土質工学研究発表会講演概要集

図-4 地盤の過剝間ゲキ水圧測定結果

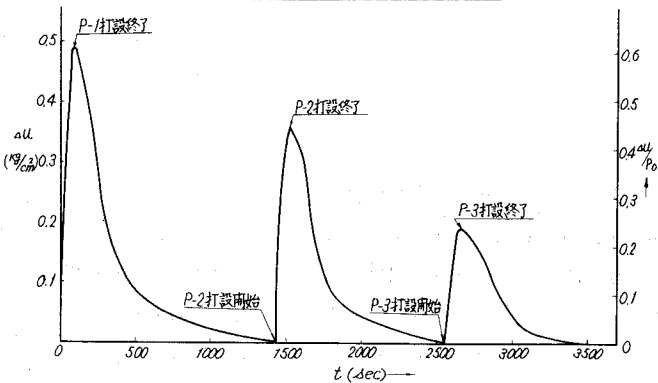


図-5 衝撃三軸試験機による過剝間ゲキ水圧と体積変化の関係（相模川産砂）

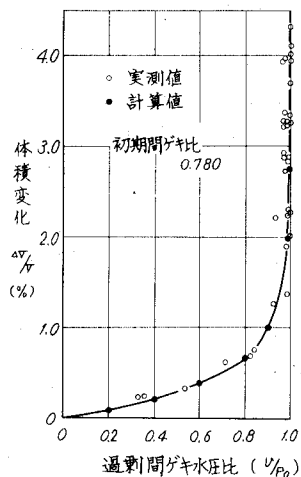


図-6 間ゲキ比と圧縮指數の関係

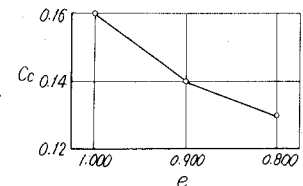


表-1 地盤の密度変化、計算値実測値の比較

施工前	P-1打設終了後	P-2打設終了後	P-3打設終了後	実測値
間ゲキ比 e	1.000	0.934	0.894	0.876
体積変化%	0	3.3%	5.3%	6.2%